

29毫米,高1300毫米)和86根照射管道(其中80根管道直径为90毫米,6根为96毫米).在管道中装入极易拆卸的铝套.当铝套受到腐蚀损坏时必须设法更换.揭开照射管上端的帽盖后,就可以装填照射管道.为了使被照射物处于辐射场的均匀区内,有效装载高度(70厘米)以铀棒高度的一半为限.一个这种装置的容积约为500公升.

*A*室供研究辐射本身的性质以及作剂量测量和放射性化学研究之用.利用不同的照射孔或更换紧靠被照射物的铀棒,便可以有系统地研究各种现象与辐照强度的关系.在大的照射管内不仅可以将样品放入,而且可以装入实验装置和测量仪表.

冷室*B*与*A*室根本不同.在*B*室只有8根铀棒,这些铀棒以等间距(190毫米)排列着.装有照射

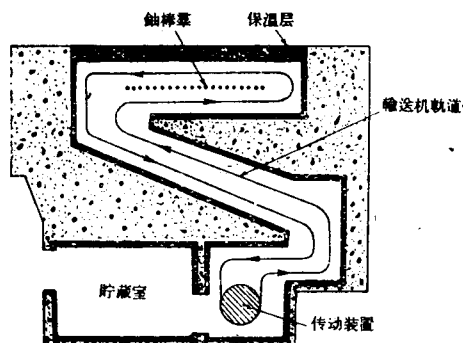


图3 “冷”室中的照射装置

样品的吊架围绕着铀棒移动.传送带能保证吊架以各种不同的速度移动,也能使吊架留在固定的位置,以及能操纵幅照区内的吊架(图4).

传送机由许多在闭合架空履带上移动的小车组成.小车装有吊架,这些吊架的下部有防止摇动的导向装置(图4).此外,有一个专用转盘使每个元件绕其中心线转动.传动装置在操作室和贮存室的附近.将空气送入*B*室,以保持全室的温度为-7°C.每小时内空气更换2-3次.室的全部墙壁和地板的最小厚度为500毫米,并有绝热层覆盖.冷室与*A*室以厚为350毫米的硅藻土层隔开.从冷室中出来的空气放入贮存室,使其温度保持0°C.

*B*室是供连续处理食品用的(在冷却和电离辐射的同时作用下来保存之),也可用来研究终止结核杆菌的生长和杀死谷物中的昆虫之照射效应.

[摘自 Deuxième conférence internationale des nations unies sur l'utilisation de l'énergie atomique à des fins pacifiques, p/12, 12, 1-8, 6 ill. (1958).]

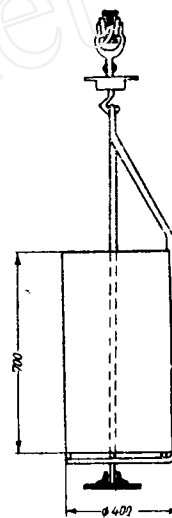


图4 吊架装置

## “魏格納能量”积累对反应堆设计的影响

当动力反应堆活性区内受到中子和γ射线的强烈轰击时,所有慢化剂都经受放射性破损.在用普通水和重水作慢化剂的情况下,这些变化表现在辐射分解,用石墨作慢化剂,则引起晶体结构的扰乱.这种现象称为“费克諾”效应.

在石墨照射过程中发现有下列变化:

机械性能的变化:辐照可增加石墨的刚性和机械强度,并使其变脆.在室温情况下经长时间的照射后,杨氏系数增大2-3倍.

导电性的变化:照射过程中石墨的导电性发生显著的变化,但这个变化对反应堆活性区结构的影响不大.

传热性的变化:照射过程的初期传热性的变化是激烈的,以后就变慢.在照射剂量为 $10^{31}$ 中子/厘米<sup>2</sup>和在室内温度下,发现传热性几乎比原来的减少了50倍.在高温情况下(300°C左右),这种变化是

很小的.但是,不管是在稳定状态或是瞬变状态,在计算石墨温度时必须考虑到这些变化.

尺寸大小的变化:这种变化对单晶体石墨影响很大.但对多晶体石墨要小些.在多晶体情况下,作用的减小是与晶体的不完全同向有关,同时也和空隙有关(多晶体的 $\rho = 1.75$ 克/厘米<sup>2</sup>代替单晶体 $\rho = 2.25$ 克/厘米<sup>2</sup>).由于尺寸大小的变化必须在反应堆活性区的石墨块之间留下空隙.

能量的积累:晶格的破坏引起能量积累,因为填隙原子和晶格空位的复合引起能量的释出.下表中示出在各种照射剂量情况下能量积累的数据(照射温度30°C).

照射剂量(中子/厘米 <sup>2</sup> )	$0.5 \times 10^{31}$	$1.0 \times 10^{31}$	$1.5 \times 10^{31}$
能量(卡/克)	250	400	500

因为石墨的比热为 0.2—0.4 卡/克·度(与温度变化有关系),在得到照射剂量  $1.5 \times 10^{21}$  中子/厘米<sup>2</sup> 的样品内积蓄了足够的能量,致使石墨的温度上升近  $1500^{\circ}$ 。照射剂量  $1 \times 10^{21}$  中子/厘米<sup>2</sup> 相当于动力反应堆工作一年的剂量。从这里可以看出,当设计反应堆时,能量积累的计算工作是多么重要。在这种情况下,必需解决在照射过程中能量的全部积累是怎样随石墨的温度而改变的,以及怎样释出这种能量的问题。在温度约为  $30^{\circ}$  ( $0.5 \times 10^{21}$  中子/厘米<sup>2</sup>)的情况下,被照射样品中释放能量的速度和温度的关系见图 1 所示。已积累的能量大致分为“低温”和“高温”两部分。“低温”部分是在样品加热到  $300^{\circ}$  左右时放出能量,“高温”部分是在更高温度下放出能量。石墨的比热和温度的关系也示于图 1。

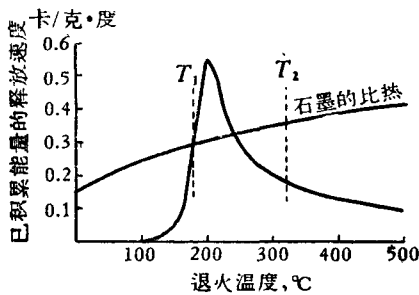


图 1 在低温下照射后“魏格纳能量”的释放

如果石墨加热到  $T_1$  点(约  $180^{\circ}$ ),那么样品同时加热到  $T_2$ (约  $360^{\circ}$ ),在这里用虚线描绘外形的这两个面积是相等的。为了更进一步取消已积累的能量,必须加热到  $T_3$  点以上。温茨凯尔和哈威尔反应堆在后期都采用了这种方法:但是从温茨凯尔事故中说明,在退火的过程中必须仔细检查活性区的温度状态。

在各动力反应堆中,照射过程中的温度高于  $30^{\circ}$ ,所以能量释放的曲线(图 2)和图 1 上的曲线稍

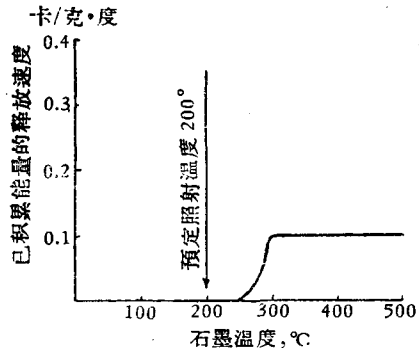


图 2 在温度为  $200^{\circ}$  时照射后“魏格纳能量”的释放  
(积累的全部能量等于 120 卡/克)

有不同。如果在照射过程中样品的温度等于  $T_0$ ,那么为了释放已积累的能量,就必须将温度升高到  $T_1$  点,即提高  $50$ — $100^{\circ}$  以上。对  $T_1$  来讲,直到  $1500^{\circ}$  释放能量的速度几乎不随温度变化。达到  $1500^{\circ}$  时将释放出已积累的全部能量,而且没有危险性。在低温部分时,自发的释放不会引起危险,但在退火过程中有危险性。因为只有在能量积累很多的情况下,才可能有温度的升高。如果释出能量的速度超过比热很多,接近释出界限(这个速度实际上存在于所有温度的情况下),那么石墨的温度可能升高到  $1500^{\circ}$ 。所以应用在温茨凯尔和哈威尔反应堆的退火法对动力反应堆(在这些反应堆中,石墨是在高温下工作的)是不适当的。

如果在气冷式反应堆内入口温度为  $900^{\circ}$ ,活性区基础部分石墨温度约为  $210^{\circ}$ ,那么在退火时就必须供给温度更高的气体。但是入口处的气体温度未必可以高到  $350^{\circ}$  以上,因此,在退火后温度上升到  $140^{\circ}$  是安全的,当然这还不够。此外,在几次退火工序后,随着第二次照射,便出现图 3 上曲线所表明的情况,这时候退火过程本身就具有危险性了。

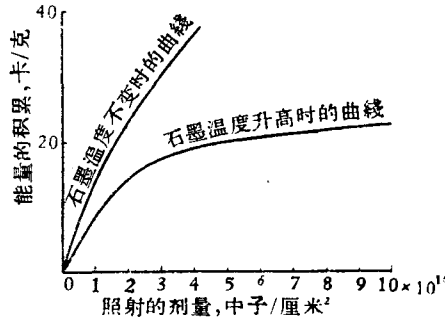
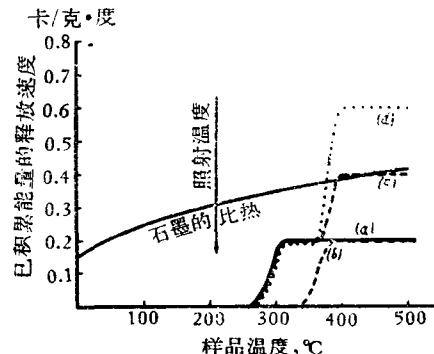


图 4 温度对积累能量的影响

在石墨溫度很高的情况下，当所受照射剂量很小时，能量的积累将达到飽和（图 4）。

在剂量小时，由于自动退火完全随温度变化，所以飽和溫度和中子流之間的关系不大（中子流增加 10 倍，飽和溫度提高 25°）。石墨的溫度应当接近或高于飽和溫度才能避免能量的积累。

在气冷式反应堆內（反应堆入口溫度为 200°C，出口溫度为 400°C），退火仅对活性区底层是必要的，因为上层是在更高溫度下工作。

依靠气体入口溫度的升高，通过專門管路和石墨內特殊孔道的热气体的再循环，电加热和核加热可以保証退火。根据經濟方案，核加热法是最适当的方法。

在石墨減速剂中，由于減慢中子和  $\gamma$  射綫的吸收以释出热状态放出約 6—8% 的分裂能量。在正常工作情況下，載热剂将这种热带走，如果石墨和載热剂隔离开，那么放热就大为減少，并且只有通过辐射和传热作用才能实现，并导致溫度的升高。

汉特斯頓原子电站的石墨和載热剂的絕緣，是通过封閉活性区基础附近的石墨套和主要砌体之間的环形空隙來达到。反应堆內“魏格納能量”的积累，将在这种固定个别释热元件的套筒里进行。但是这并不复杂，因为套筒和燃料一起装卸，在第二次

裝载时，預先在炉內将套筒退火。

在卡德豪尔和切貝爾克罗斯的反应堆內，为了消除在堆內套筒中的能量积累而用新镁合金（магнокс）制造。但由于合金套筒吸收中子只能用于反射层底部，因此用石墨套筒为最好。有些半經驗的数据說明，汗特斯頓反应堆活性区内影响最大部分的能量要过 50 年才需要退火。

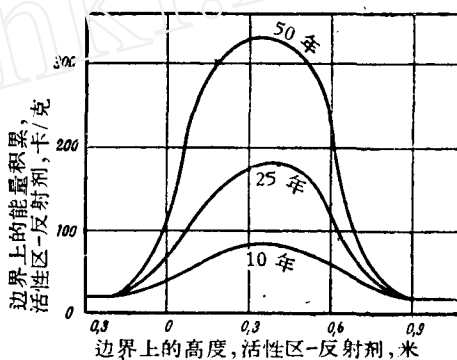


图 5 汗特斯頓反应堆內主要減速剂的承受  
应力大部分的“費克諾能量”的积累

[摘自 Grant, P. J., Wigner Energy Storage.  
*Nuclear Engineering*, 4, No. 35, 69—72, 5 ill.  
(1959)]

## 觀 察 窗 的 制 造

英国琴斯一皮耳肯頓光学仪器厂产品之一是用来制造观察窗的专用防护玻璃。

玻璃吸收射綫的性能取决于它的厚度和密度。当設計观察窗时，牆壁密度是决定性的因素，因为窗的厚度不应超过主要建筑物的牆壁的厚度。在用普通混凝土造的建筑物中（密度 2.5 克/厘米<sup>3</sup>），一般都采用普通玻璃板，其密度接近于 2.5 克/厘米<sup>3</sup>。在用鉛混凝土（密度 3.3 克/厘米<sup>3</sup>）造的建筑物中，采用密度为 4.3 克/厘米<sup>3</sup>的矽酸盐鉛玻璃。当重迭几块玻璃板时，为了减少内表面反射射綫的干扰，玻璃之間的空隙填滿液体。該液体的折射系数等于玻璃的折射系数。

普通玻璃在伦琴射綫或  $\gamma$  射綫的照射下会发黑或脫色。由于制造玻璃时在原料內加入“稳定剂”，就可以消除脫色。稳定剂使玻璃具有浅黃色，而这样便防止了它在受强輻射照射时变黑。

大玻璃块的熔鑄。用来制造玻璃块的原料在实验室內进行化学分析，然后仔細地拌合，倒入复盖着金属的专用木箱里。工艺过程的組織，使所有与制

取玻璃料有关的工序能連續地进行。这种連續生产法可以仔細地检查玻璃质量。定期选择样品，能够及时地糾正任何缺点。

当熔鑄大玻璃块时，炉的玻璃料倒入模子內，模子放置在用电流加热的浇鑄室內或馬弗炉內，这样玻璃的溫度从装料开始到結束一直都保持不变。当模子浇滿后，将它放入大的退火炉中，調整炉子的溫度，使玻璃逐渐冷却，以保証最小的剩余应力。整个退火时间取决于块的大小，对大尺寸的块来讲，退火时间为 8 至 10 周。在实验室內測量玻璃块的密度和折射系数，并仔細检查块中的缺陷。退火的玻璃块用带锯锯开，并用毛毡磨光。密度为 4.3 克/厘米<sup>3</sup>的玻璃块制每边长 1.7 米和厚 20 厘米的方形玻璃。这种玻璃在质量上次于光学玻璃，但是好的磨光表面保証其高透明度，并且使它适于制造观察窗。

觀察窗装置。觀察窗能制成不同的尺寸和結構形式：有单层觀察窗，也有由六块“稳定”处理过和“未稳定”处理的多层觀察窗（前后带有保护玻璃